

СОПРОТИВЛЕНИЕ КОНТАКТНОЙ ЦЕПИ  
ПЛЕНЧНЫХ ЭЛЕКТРОСТАТИЧЕСКИХ РЕЛЕ НА ПОСТОЯННОМ ТОКЕ

Э.А.Лигаева, А.М.Нудельман, А.И.Рогалев

Рассматриваемые пленочные реле имеют герметичную оболочку, наполненную воздухом или откаченную до давления  $10^{-1} + 10^{-2}$  мм.рт.ст. Сопротивление контактной цепи реле определяется переходным сопротивлением контактов и сопротивлением подводящих плавок (рис.1, электроды 1,2,5). В качестве исходного материала подводящего электрода 1 используется бронза БрФ. Удельное сопротивление -  $0,128 \text{ ом}\cdot\text{мм}^2/\text{м}$ . Ширина подводящего электрода выбрана 100 мкм, толщина 1  $\pm 2$  мкм, рабочая длина 1,8 мкм. В качестве исходного материала неподвижного контакта 2 и опорных столбиков 5 используется бронза БрВ2. Удельное сопротивление -  $0,068 + 0,1 \text{ ом}\cdot\text{мм}^2/\text{м}$ . Ширина рабочей части неподвижного контакта "бс" (рис.1) составляет 70 мкм, подводящий дорожка "аб" - 0,6 мкм, высота контакта 0,7 мкм. Ширина опорного стебелька "mk" - 0,6 мкм, высота 1,24 мкм.

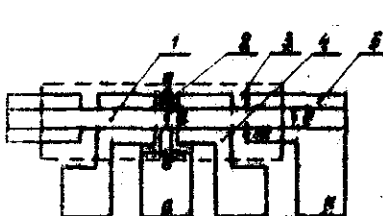


Рис.1. Схема ПМР.

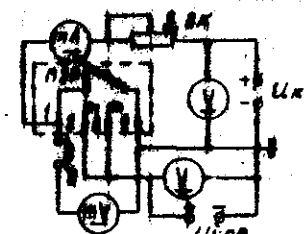


Рис.2. Схема для измерения сопротивления цепи контактов на постоянной токе.

Измерение сопротивления цепи контактов реле проводилось на постоянном токе при коммутируемом напряжении 6 в и токе 1 мА.

Схема измерения представлена на рис.2. Измерение сопротивления в режиме микротоков проводилось аналогично. Схема измерения представлена на рис.3. Для измерения падения напряжения на контактной цепи использовался микровольт-микроамперметр типа Ф-И16/1, для измерения тока через контакт-микроамперметр типа М-95. Погрешность при измерении не превышала 5%.

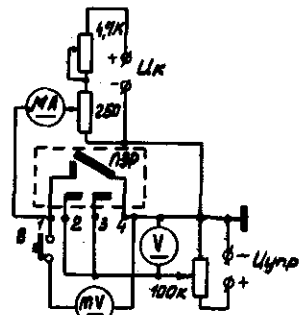


Рис.3. Схема измерения сопротивления цепи контактов в режиме микротоков.

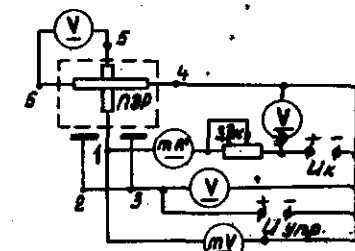


Рис.4. 4-х зондовая схема для измерения переходного сопротивления.

Измерение переходного сопротивления контактов и сопротивления подводящих пленок проводилось по четырехзондовой схеме (рис.4).

В таблице I представлены расчетные и экспериментальные данные по сопротивлению подводящих пленок контактной цепи. Получено достаточно хорошее совпадение расчетных и экспериментальных результатов. Из таблицы видно, что суммарное сопротивление

Таблица I

Участок	$R$ расчет., ом	Экспериментальные данные			
		Кол-во реле, шт.	$R$ мин., ом	$R$ ср., ом	$R$ макс., ом
$R_{ab}$	0,35	10	0,3	0,332	0,38
$R_{bc}$	1,45	10	1,28	1,36	1,63
$R_{de}$	0,66	10	0,48	0,65	0,94
$R_{mk}$	0,568	10	0,51	0,672	0,84
$R_{al}$	3,028		2,81	3,014	3,36

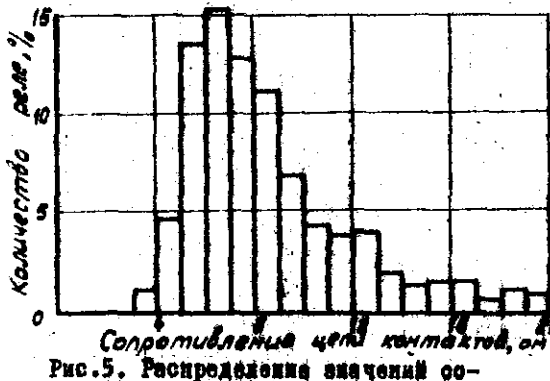


Рис.5. Распределение значений сопротивления цепи контактов реле.

подводящих пленок  
 $R_{ak}$  составляет в средней 3 ома.

На рис.5 представлена гистограмма распределения полного сопротивления контактной цепи по 1000 образцов. Значения сопротивлений лежат в пределах 3-20 ом при среднем значении 8 ом.

Таблица 2

Сопротивление	Мин., ом	Сред., ом	Макс., ом
$R_1$	6,73	17,6	35,2
$R_2$	3,75	14,3	31,0
$R_{ak}$	2,2	3,29	4,2

Переходное сопротивление контактов замерялось на открытых структурах реле. Из таблицы 2 видно, что сопротивление контактной цепи  $R_1$  определяется в основном переходным сопротивлением  $R_2$ , которое составляет 80% от полного.

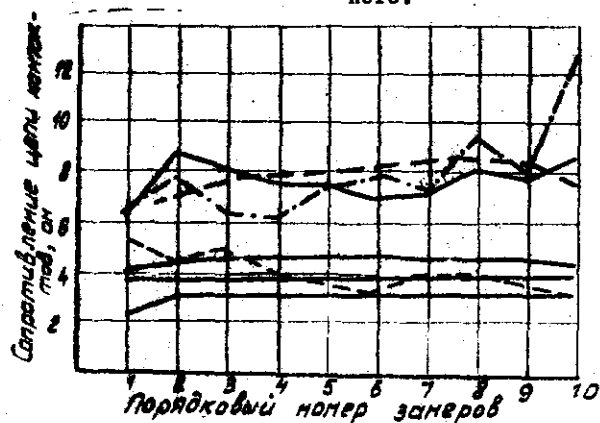


Рис.6. Повторяемость значений сопротивления цепи контактов.

Высокое значение переходного сопротивления у отдельных экземпляров реле можно объяснить в основном недостаточным усилием прижатия контактов в момент контактизации, образованием окисных пленок на рабочей поверхности контактов из герметизированных структур.

Проведено обследование на повторяемость значений сопротивления контактной цепи для одних и тех же экземпляров реле (рис.6). Из рисунка видно, что сопротивление одного и того же реле при десятикратном замере меняется у отдельных экземпляров в 2 раза.

При выяснении зависимости сопротивления контактной цепи от тока установлено, что увеличение тока с 10 мА до 10 мА приводит к падению сопротивления в 5 раз. Сняты зависимости сопротивления контактной цепи от напряжения на управляемых электродах. Типичная зависимость приведена на рис.7.

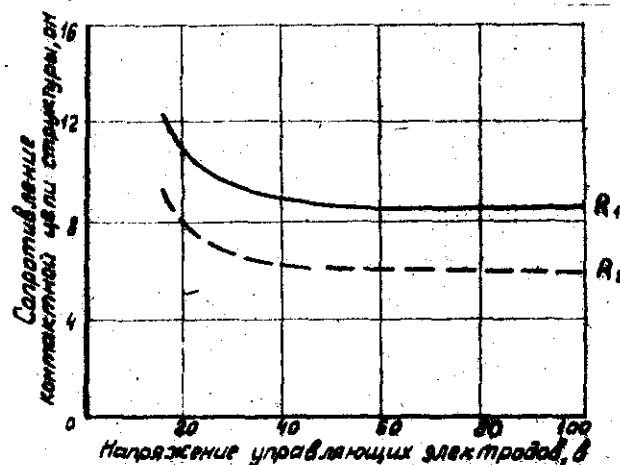


Рис.7. Зависимость сопротивления контактной цепи реле ( $R_1$ ) и переходного сопротивления контактов ( $R_2$ ) от напряжения управляемых электродах.

Основные направления работ по снижению сопротивления контактной цепи ПЭР и уменьшению его разброса можно сформулировать следующим образом:

1. Стабилизация технологии напыления пленок (снижение разброса по толщине), стабилизация натяга и технологии прикрепления мембранны.

2. Ужесточение рабочей части мембранны с целью увеличения усилия прижатия контактов.

3. Использование в качестве материалов контактов благородных металлов.

4. Увеличение площади поперечного сечения подводящих плёнок для снижения их сопротивления.

#### Л и т е р а т у р а

1. ДЯТЛОВ В.Л., СОЛДАТЕНКОВ И.С. Некоторые результаты исследований статических характеристик пленочных электростатических реле. Труды I Всесоюзной конференции по Вычислительным системам. Вып.5. Физико-технологические исследования. Новосибирск. "Наука", СО, 1968.

2. ДЯТЛОВ В.Л., СОЛДАТЕНКОВ И.С., ЧЕРЕПОВ Е.И. Электростатическое реле. Авт.свид.СССР, № 204440.